



54418.11—
2017
(61400-11:
2012)

▪

11

(IEC 61400-11:2012,
Wind turbines — Part 11: Acoustic noise measurement techniques,
MOD)



2017

54418.11—2017

1	» (« - »)	« -	-
	,	4	-
2		016 «	»
3	3	2017 .	1648-
4	61400-11:2012 «	. 11.	-
MOO)	» (1 61400-11:2012 «Wind turbines — Part 11: Acoustic noise measurement techniques»,	.	-
	.	,	-
		1.5—2012 (3.5).	*
			-
5	54418.11—2012 (61400-11:2006)		

54418.11—2017

29 2015 . No 162- « 26
) — « (», 1 -
() « ».
».
,
—
(www.gost.ru)

© , 2017

, *
-

54418.11—2017

1	1
2	1
3	2
4	4
5	5
6	6
6.1	6
6.2	8
6.3	9
6.4	9
7	9
8	15
8.1	15
8.2	17
8.3	19
8.4	22
8.5	23
	10	23
8.6	23
9	29
9.1	29
9.2	30
9.3	30
9.4	30
9.5	31
	()	32
	()	33
	()	34
D ()	37
	()	39
F ()	42
G ()	43
	()	45
	47

54418.11—2017
(61400-11:2012)

11

**Renewable power engineering. Wind power engineering. Wind turbines.
Part 11. Methods for determination of acoustic noise characteristics**

— 2018—07—01

1

()

2

8.635 (61672-3:2006)

3.

17168

17187 (IEC 61672-1:2002)

ISO 11204

1.

1

54418.11—2017

8.714	-
51237	-
53188.2 (61672-2:2003)	-
2.	-
53566	-
53576 (60268-4:2004)	-
54418.12.1 (61400-12-1:2005)	-
12-1.	-
54418.12.2	-
12-2.	-
54500.3 /	/	98-3:2008	.	3.	-
/ 17025	-
60688	-
60942	-
—	-
«	»,	«	»	1	-
,	,	,	,	.	-
().	,	,	,	-
,	,	,	,	,	-
,	,	,	,	8	-
3	-
31296.1.	51237.	ISO 11204.	31252		
3.1	L_w (sound power level):				
	$-10 \lg(W/W_0)$.			(1)	
W —	;				
W_0 —	()	1	.		
—	8	1	.		
3.2	()				
(apparent sound power level):	no	(—			
)	1				
1	1	.			
2	,	,	,	.	
(,	,	,	8	.
2					

3.3 L_p (sound pressure level):

$$L_p = 10 \lg(p^2 / p_0^2). \quad (2)$$

— () , 20 —
1 , 20 .

3.4 L_{pA} (A-weighted sound pressure levels):

30683. 31296.1, 31296.2.

1 17187. 20 .
2

3.5 (A-weighted equivalent continuous sound pressure levels):

$$L_{pAeq} = 10 \lg \left(\frac{1}{T} \int_{t_1}^{t_2} p_A^2(t) dt \right) \quad (3)$$

$$L_{pAeq} = 10 \lg \left| \frac{\frac{1}{T} \int_{t_1}^{t_2} p_A^2(t) dt}{p_0^2} \right| \quad (3)$$

1 20 .
2 « » ,
3 j j.

3.6 :
3.7 () (background noise):

3.8 (wind speed bin):
0,5 /

1 1- 6 / . 2- 6.5 / .
3- 7 / . . .
2

8 0.8 1.3 , 85 % ,

3.9 (noise spectrum):
3.10 (one-third-octave band):

() (1.26).

3.11 (ton):
3.12 L_{pV}

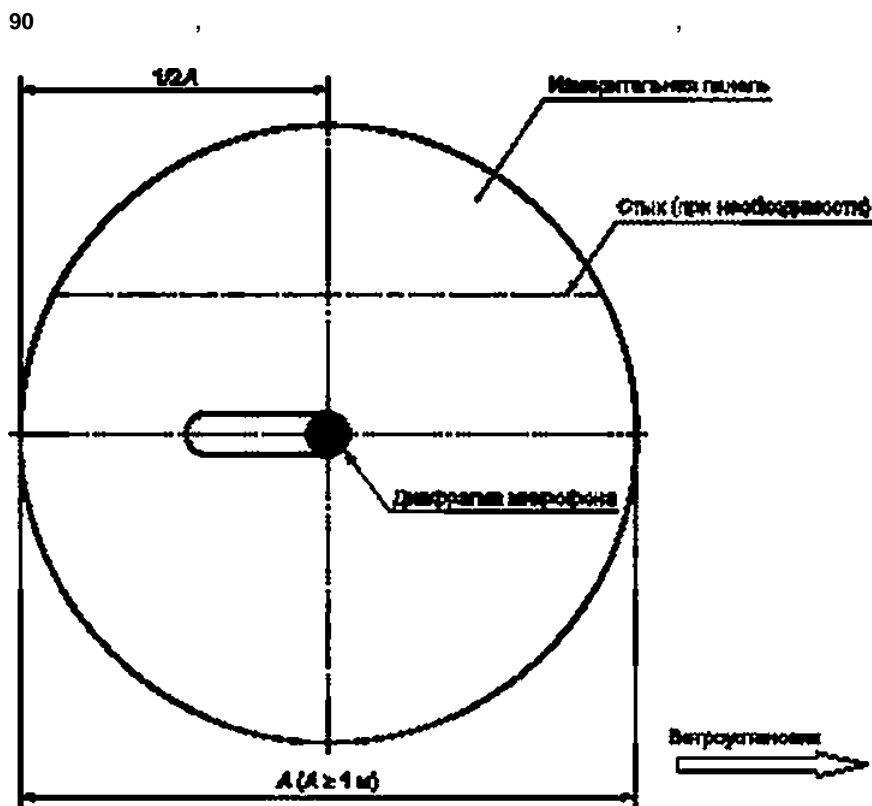
— 8 , 20 .

54418.11—2017

3.13	L_{pn}		
3.14	() L_{tn} (tonality):	
3.15	«	» L_a (audibility criterion):	
	—	20	
3.16	() L_a (tonal audibility):	
	—	20	
3.17	() (wind turbines maximum power):	
	—	8	
3.18		v_H (normalised wind speed at	
hub height):			
1	:		
-	15*	
-	101.325	
2	17187	23"	
3.19	:		
	8		
3.20	R_0 (reference distance):		
6			
3.21	(inclination angle):		
	—		
3.22		z_{0ref} (reference	
roughness length):		0.05	
4			
D —	(8)	
(), ;		
—	(8)	
	()	
f —	;		
f_c —	;		
L —	(20);
L_{pA} ~	(20);
$L_{p>eq}$ —			
(20);	
L —	(20);
20	gv^9	(
);		
—	(20):
4			

$A_i^{\wedge} -$: , (20);
 $L_{WAtq} 10 -$ *
 $10 , (1);$ fc-ro -
 . (1);
 . ;
 . ;
 . ;
 , -
 , -
 , ;
 $Rq -$, ;
 $S_0 -$, 2;
 .® ();
 ;
 6 - ;
 ;
 $v -$, / ;
 $v_{10} -$ 10 ;
 $v_H -$, / :
 $v_k -$ \ |
 , / ;
 $v_z -$ z , / :
 , ;
 . / ;
 $Zq -$, :
 $z -$, .
 8 :
 $i -$ (, / - 1 10) ; 20 . i - 2
 25 , / = 28 10) ;
 10- (10 ,) ;
 > 1 10) :
 10 (. 8.3.6);
 / - ;
 ;
 ;
 8 ;
 .
 5
 10 .
 .
 , , -
 .
 () .
 5

- () 7).
- 2) 8.714 17168 1 20 10
- 3)
- 4) () 1.
- 12.0 2.5
- 1 () 1 1.
- 5) () () ()



1. 1—

12)

13)

14)

).

15)

16)

17)

18)

±2 %

±1 * .

±1 .

6.3

19)

20)

1

17187,

53188.2

8.635.

10 .

21)

22)

6.4

•

•

•

•

•

•

•

•

•

•

•

•

•

•

•

•

•

•

•

•

•

•

•

•

•

•

•

•

•

— 24 .. — 12 .;

— 24 .. — 24 .;

— 36 .;

/ () — 24 ..

— 24 .;

— 24 .;

— 24 .;

— 24 .

7

1)

0.2 .

54418.11—2017

(. ,) .

2) . , 6.1—6.3.

()

1 2.

—

3.

(, $\pm 15^\circ$.

(. 2). $\varphi >$ 25 40 .



2—

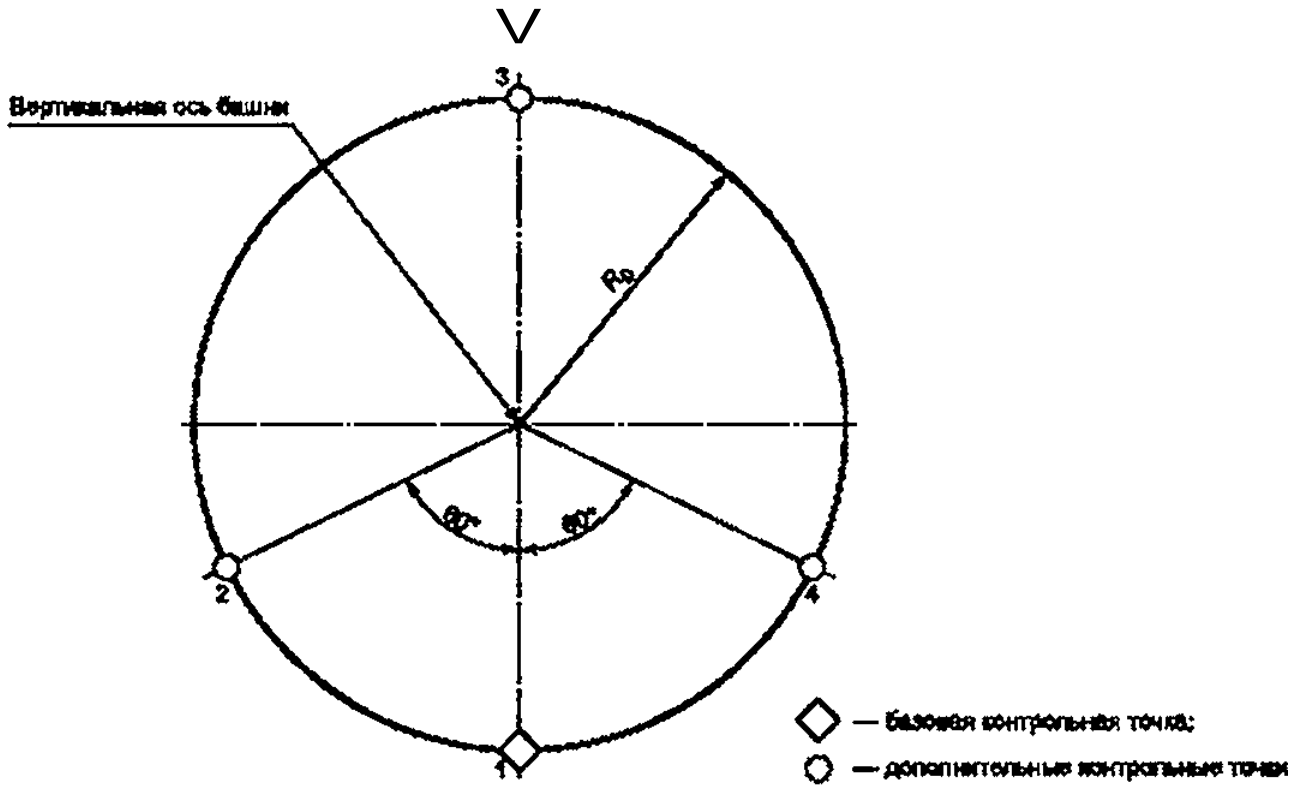


Рисунок 3 — Стандартные контрольные точки для размещения микрофона (вид сверху)

0 3 4. ±20 %.

30 ±2 %.

R_0

[. 4)]

)

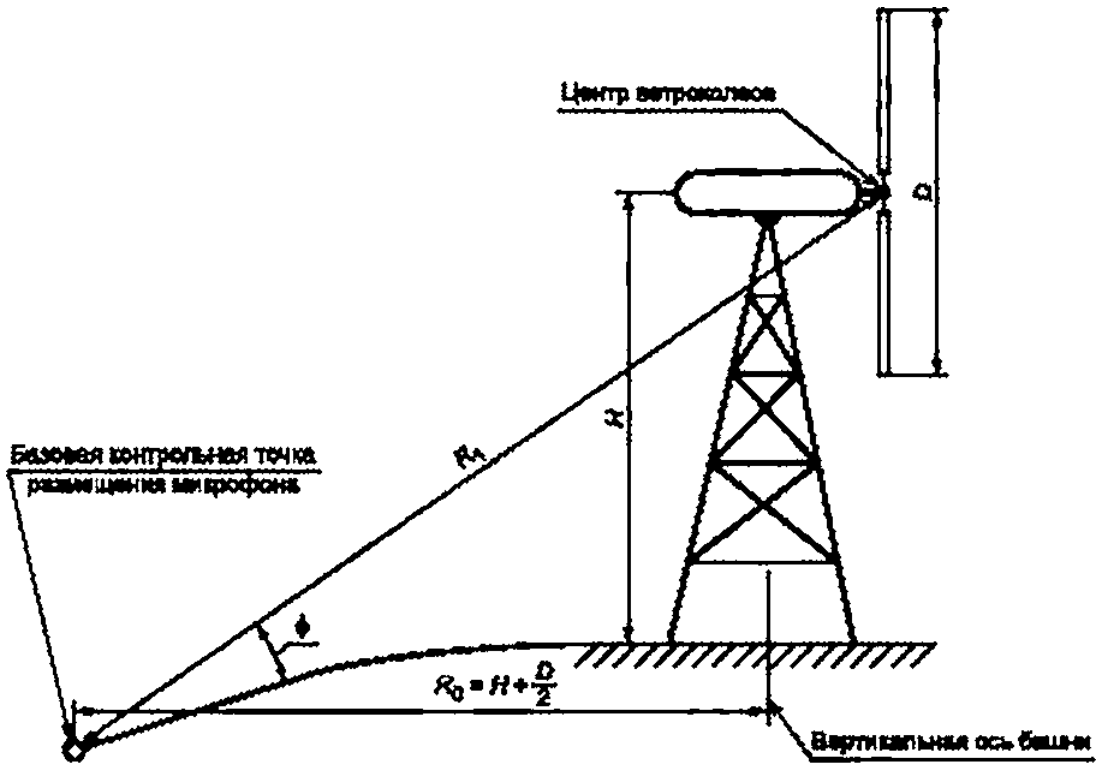
— :
D—

R_0 [. 4)]

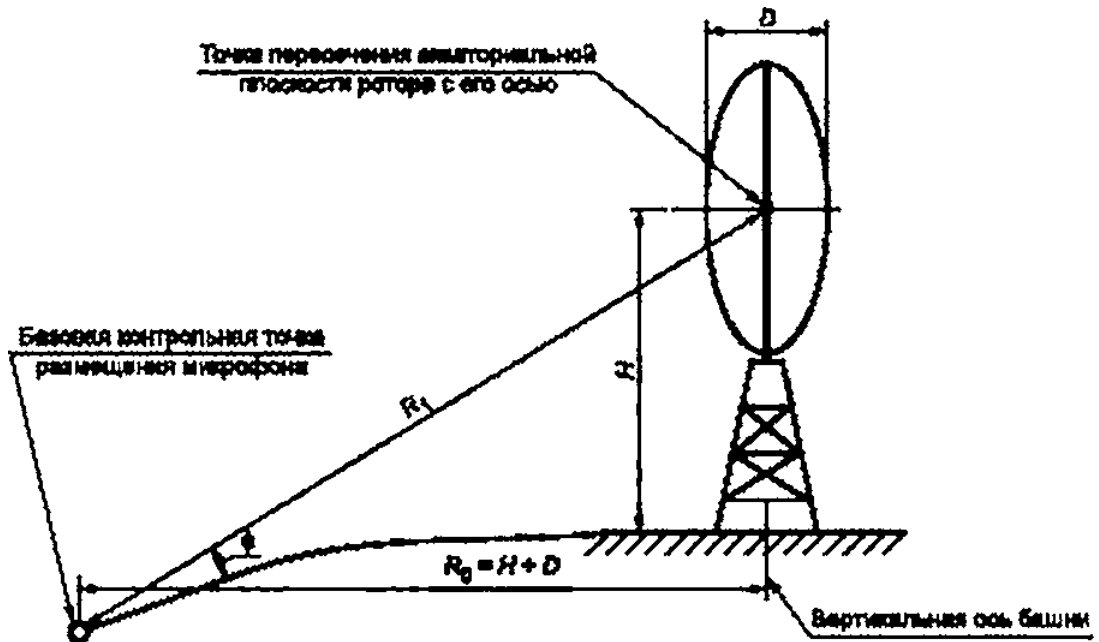
0- + , (5)

— ;
D—

54418.11—2017



а — ветроустановка с горизонтальной осью вращения ветроколеса

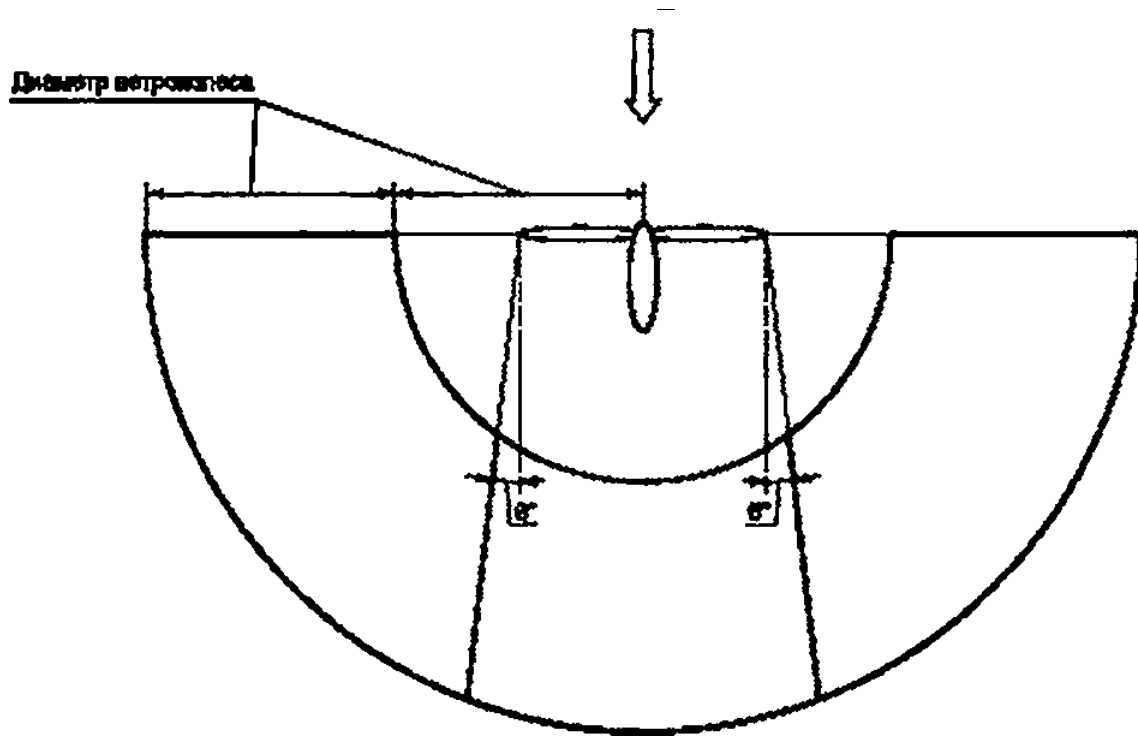


4 —

{ }

10

5



54418.12.2, (. 8.2.1).

1.5

3)

4)

•

•

(L_{Meqr});

•

•

(. 8.2.1);

•

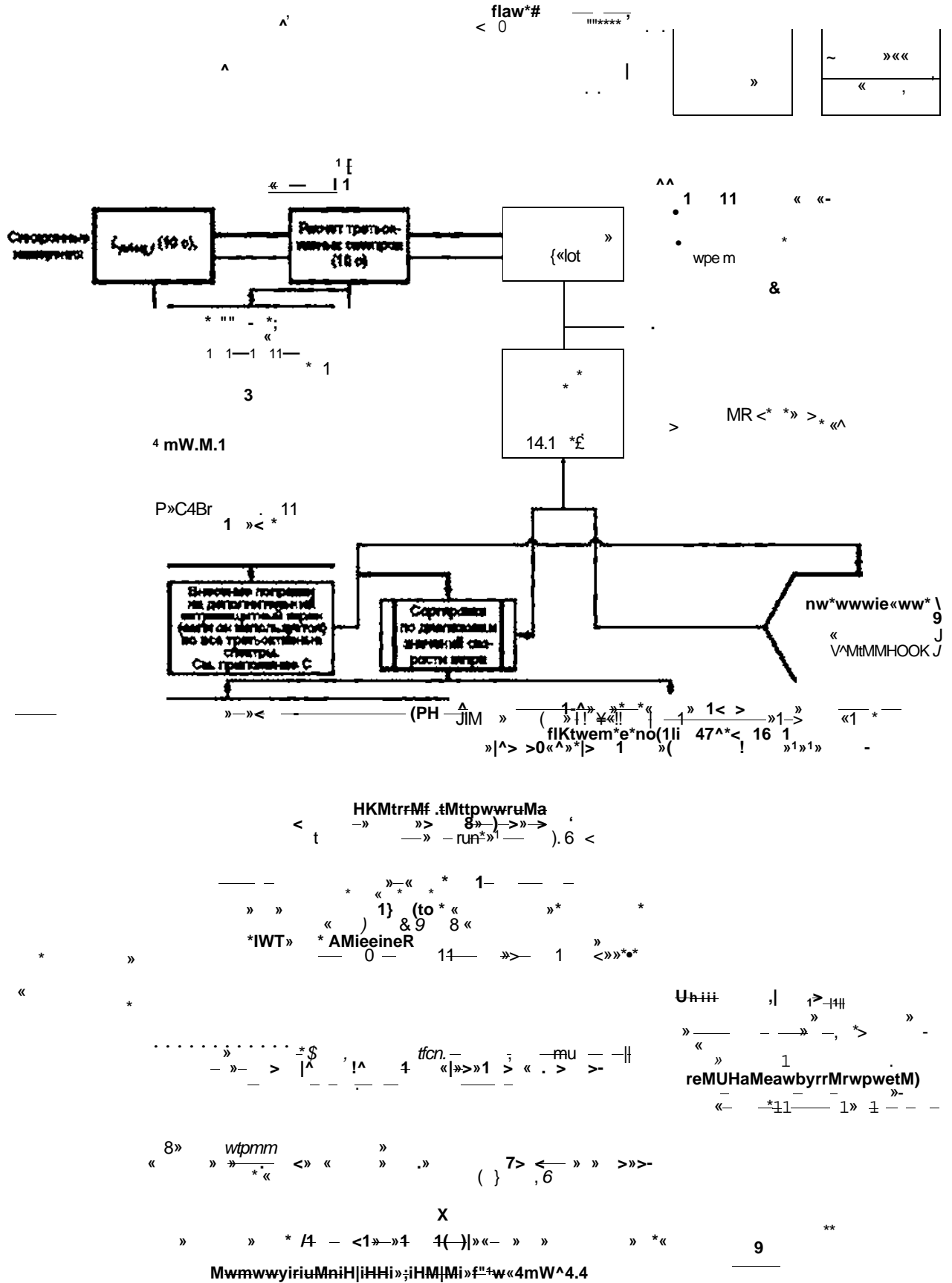
•

(;).

(,).

10-

54418.11—2017



8.2

8.2.1

()

8.2.1.1

54418.12.1

54418.12.2.

(3.18).

54418.12.1

54418.12.2.

$$(\dots, - , , *+ \gg >^{\circ} -) \quad (6)$$

(0) —

1 5 %

V_p

$V_H \gg V_{Pn}$

V_{Hn}

(7)

8.2.1.2

$V_{насm}$

V_p

$4 / -$

V_{PI} / I

(8)

V 1CV *

$V_{нас}$

54418.11—2017

$V_{H^*} = V_{ae}$
8.2.2

$$z \{ 10 \} \cdot v_2 \quad V_{Pn} \quad (10)$$

v_t —

8.2.3

7 -

$$\frac{1}{/ - 1} V^{/*} \quad (12)$$

N_k —
 v_k —

/ — 10-
(

1 10)

10 -

8.2.1 8.2.2.

$$^* - (-1) \quad V - \quad (13)$$

8 (8),

$$\sqrt{\frac{1}{N_k} \sum_{j=1}^{N_k} U_B^2(v_{jk})} \quad (14)$$

G. G.3.

$$v_{jk} = \sqrt{\sum_{q=1}^9 u_{Bq}^2 v_{jk}}, \quad (15)$$

$v_{jk} = g$

(G.3)

ft-

ft-

$v_{jk} = v_{jk} + u_{Bq}$

<16>

8.3

8.3.1

ft-

L_{pAeq}

20 10 .

$L_{pAeq Pf}$

$\wedge \wedge \& 1 10$

(17)

L_{pAqif}

$L_{pAqif} = \dots$; 20 .
 $L_{pAqif} = \dots$; 20 .
 $L_{pAqif} = \dots$; 20 .

L_{pAbqj}

$L_{pAeq} /$

L_{pAcq}

L^*

8

ft-

54418.11—2017

8.3.2

*

/ -

$$\bar{L}_{jk} = 10 \lg \left(\frac{1}{N_k} \sum_{j=1}^{N_k} 10^{\left(\frac{L_{j,k}}{10} \right)} \right), \quad (20)$$

N_k —
->/ —

k-

;

/

/ -

—

$A L_g \wedge_{\text{cqr}}$

. A. eq.

*

/ k-

$$U_A(L_k) = \sqrt{\frac{1}{N_k \cdot (N_k - 1)} \sum_{j=1}^{N_k} (L_{jk} - \bar{L}_{jk})^2}. \quad (21)$$

/ k-

$$U_B(L_{jk}) = \sqrt{\frac{1}{N_k} \sum_{j=1}^{N_k} U_B^2(L_{jk})} = U_B(L_{jk}). \quad (22)$$

G. G.3.

8

/

)

$$U_B(L_{jk}) = \sqrt{\sum_{q=1}^7 U_{Bq}^2(L_{jk})}. \quad (23)$$

$g(L^{\wedge})$ — 4-

8 (. G.3)

/ k-

/.

/ k-

$$U_C(L_k) = \sqrt{U_A^2(L_k) + U_B^2(L_k)} \quad (24)$$

54418.11—2017

$$U_c(L_{VC ik}) = \frac{\sqrt{\left[U(L_{VT ik}) \cdot 10^{\left(\frac{L_{VT ik}}{10}\right)} \right]^2 + \left[U(L_{VB ik}) \cdot 10^{\left(\frac{L_{VB ik}}{10}\right)} \right]^2}}{10^{\left(\frac{L_{VT ik}}{10}\right)} - 10^{\left(\frac{L_{VB ik}}{10}\right)}} \quad (33)$$

L_v — / fc-ro -
 3 . , *
 L_v 1 , 3 . L_v 3 . -

$$U_c(L_{VC ik}) = \frac{\sqrt{\left[U(L_{VT ik}) \cdot 10^{\left(\frac{L_{VT ik}}{10}\right)} \right]^2 + \left[U(L_{VB ik}) \cdot 10^{\left(\frac{L_{VB ik}-3}{10}\right)} \right]^2}}{10^{\left(\frac{L_{VT ik}}{10}\right)} - 10^{\left(\frac{L_{VB ik}-3}{10}\right)}} \quad (34)$$

8.4

$$L_{vCIK} \quad / \quad / - \quad 1$$

$$eq ik \quad * - + 101 \quad 4 \quad R^* \quad (35)$$

R_0 —

4;
 S_0 — 6 . $S_0 = 1 \quad 2$.
 (30)

$$/ \quad //WA * \backslash$$

$$* \ll 1 \quad \text{£} 1 \quad . \quad (36)$$

3 6 . 3 -
 L_{WA} £ — /

$$U_B(L_{WAH}) = \frac{\sum_{i=1}^{28} \left[u_c(L_{VCN}) \cdot 10^{\left(\frac{L_{WAH}}{10}\right)} \right]}{\sum_{i=1}^{28} 10^{\left(\frac{L_{WAH}}{10}\right)}} \quad (37)$$

G. G.3.
8.3.2.

(37)

8.5

10

10 10m 0

10 .

$$v_h \quad v_{io} \quad \frac{in}{in} \quad 10 \quad (38)$$

Zq_{le} —

$Zq_{ref} = 0.05$

(21) > (30).
(31) (32)

v_H

(10 fl) .

10

i^{\wedge}_{Aeq}

8.6

8.6.1

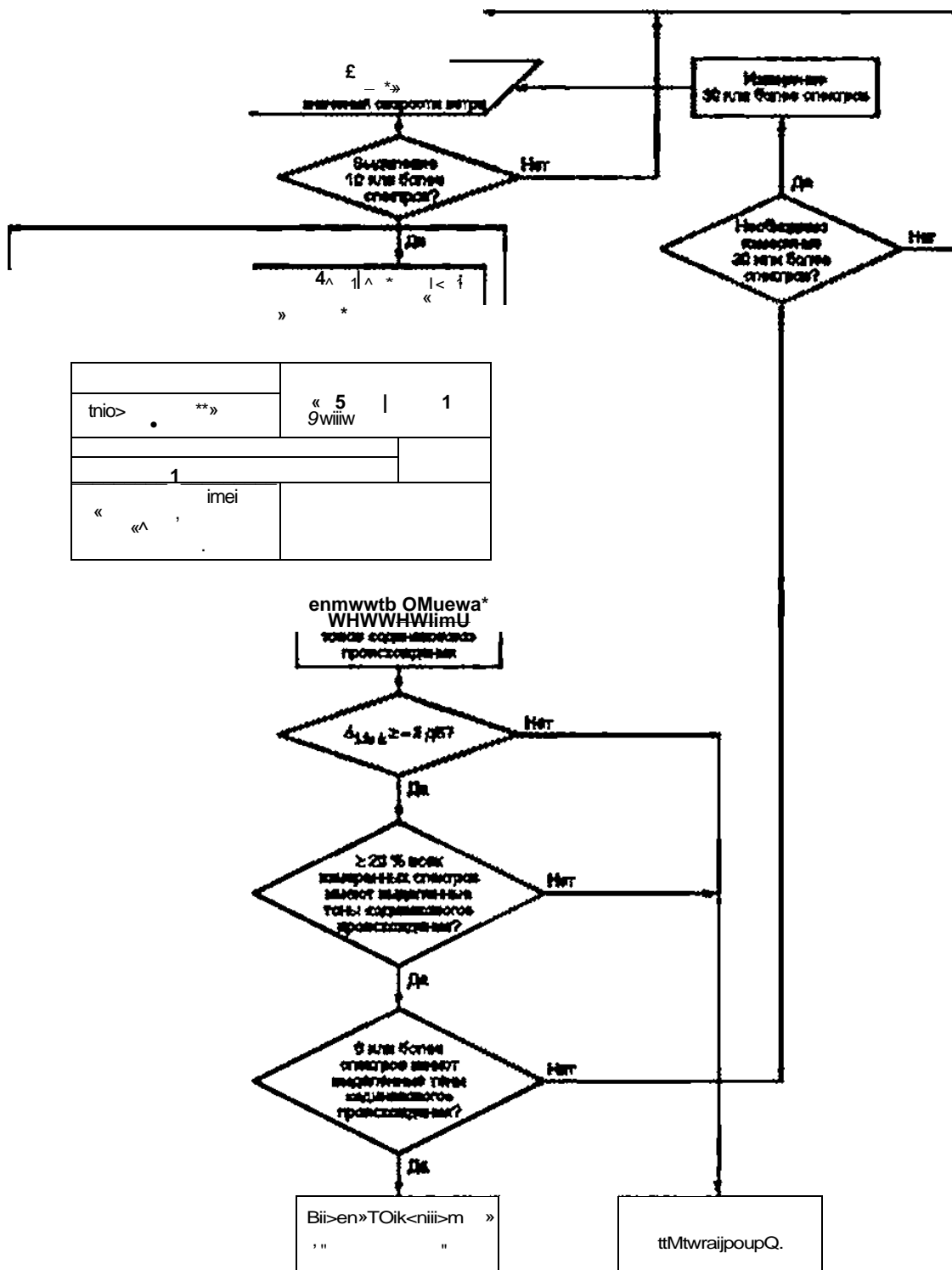
7.

10-

8

()

54418.11—2017



G?D

7 — -

:
 •
 •
 •
 •
 •
 •
 8
 AL_{fa} ^ 1(1 AL_{ta} -
 8 (,) -
 . , -

8.6.2

- 1) . -
- 2) . -

$$\left[25 + 75 - 1 + 14 \cdot \left(\frac{f_c}{1000} \right)^2 \right]^{0.69} \quad (39)$$

- 3) () . -
- 4) . -

8.6.3

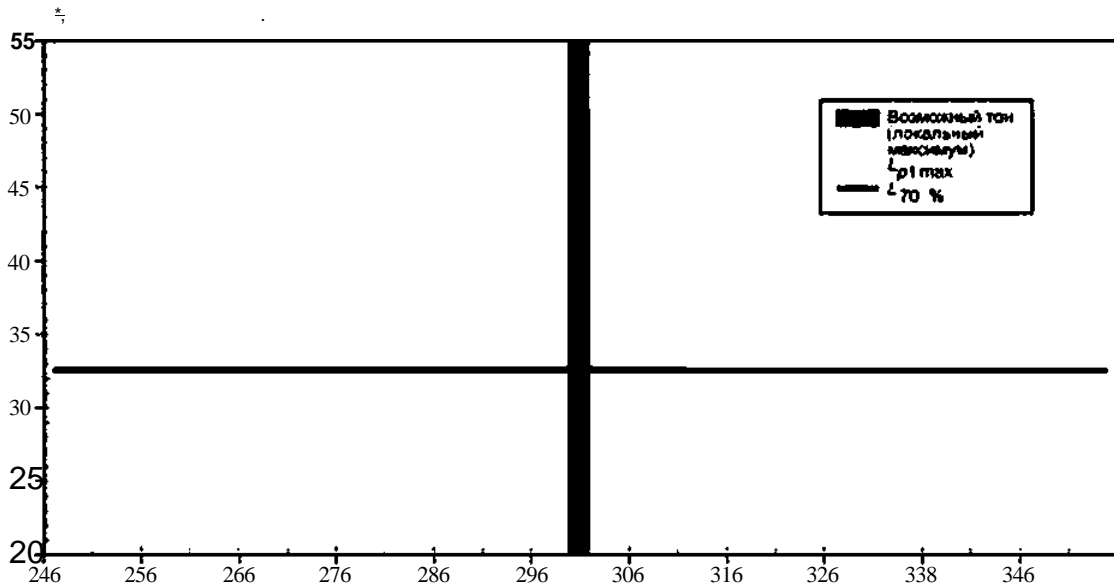
120 . 20 70 20
 1) L_{70%} -
 70 % L_{J0%} 8. L_{70%} -
 2) — , 6 (. 9). -
 3) L_{pn avg} ,
 4) (. 10).
 L^ 6 (. 11).

54418.11—2017

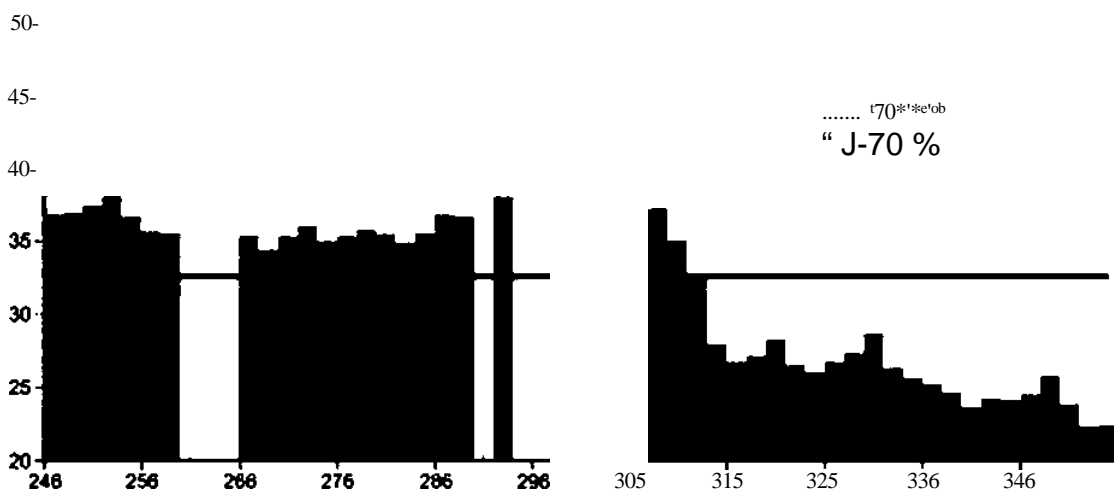
10

L-01
5)

11.

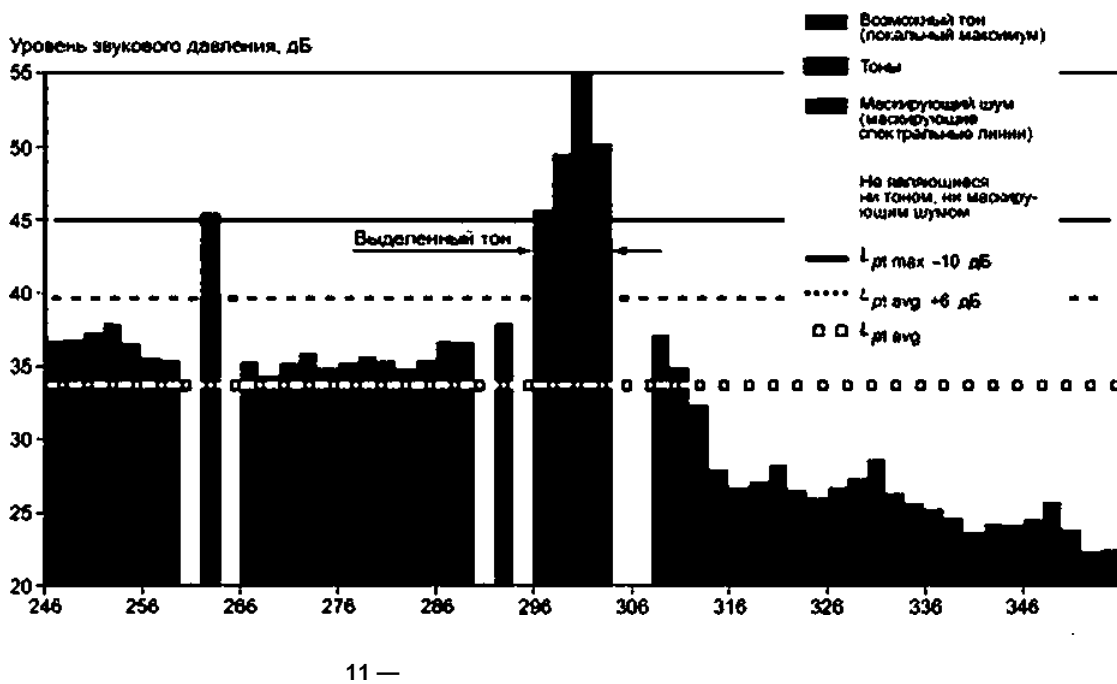
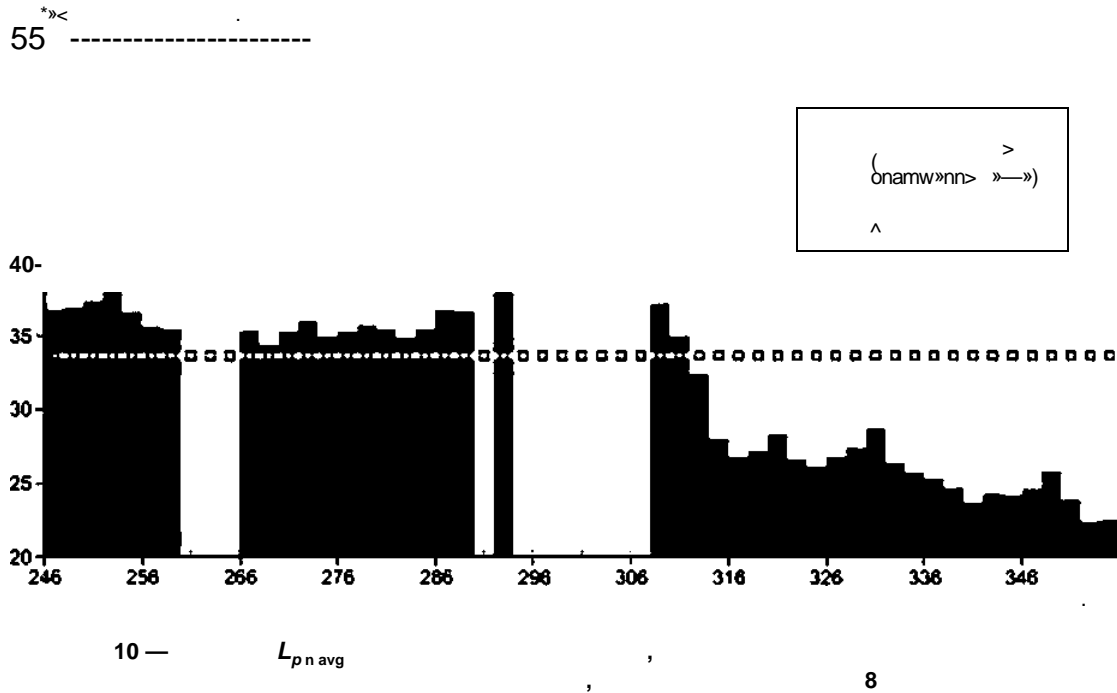


»



9 — (J-70% *)

8



8.6.4

54418.11—2017

()

.1
»
.
2
10
450
+3.0
-1,0
2
4
7.2
1)
(. 7). ±20 %
2)
3)
4) 3)
5)
6)
2).
.5

100

100

125

.1

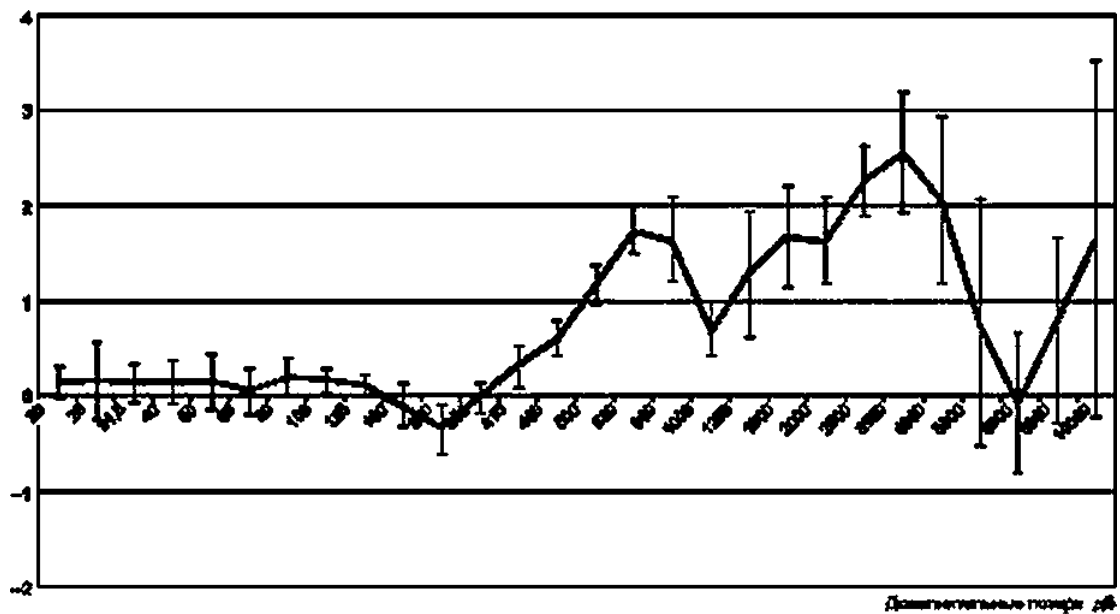
.1

.1 —

()

20	0.1	0.2	500	1.2	0.2
25	0.2	0.4	630	1.7	0.2
31.5	0.1	0.2	600	1.7	0.4
40	0.1	0.2	1000	0.7	0.3
50	0.1	0.3	1250	1.3	0.7
63	0.0	0.3	1600	1.7	0.5
80	0.2	0.2	2000	1.6	0.5
100	0.2	0.1	2500	2.3	0.4
125	0.1	0.1	3150	2.6	0.6
160	-0.1	0.2	4000	2.1	0.9
200	-0.3	0.3	5000	0.8	1.3
250	0.0	0.2	6300	-0.1	0.7
315	0.3	0.2	8000	0.7	1.0
400	0.6	0.2	10000	1.6	1.9

» > ± 4* *



.1 —

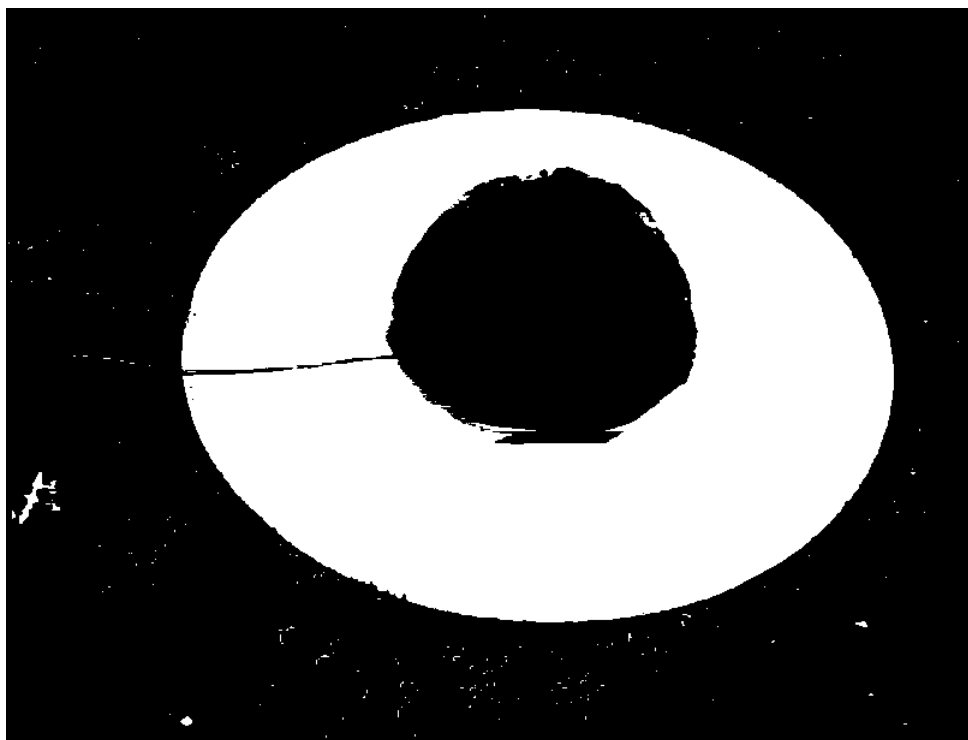
()

(.1)

54418.11—2017

.6

2



2—

(1)

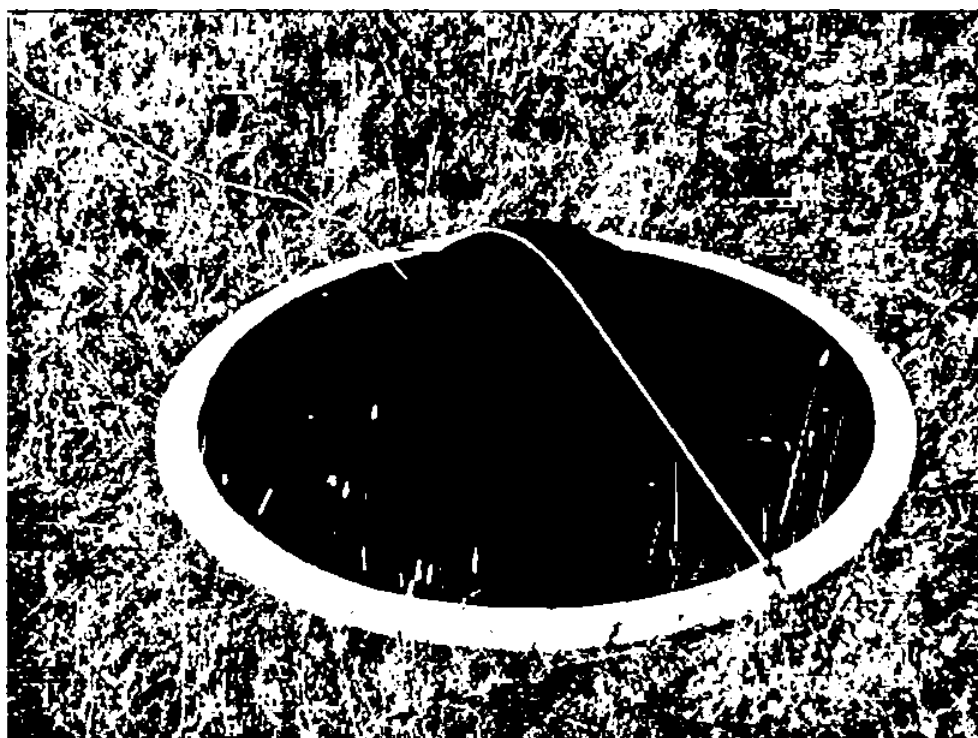


Рисунок С.3 — Дополнительный ветрозащитный экран (вариант 2)

()

D.1

0.1.

D.1—

	Z_q .
	0.0001
	0,01
	0.05
	0.3

D.2

$$V = V_{z\text{ref}} \cdot \left(\frac{\ln\left(\frac{z}{z_0}\right)}{\ln\left(\frac{z_{ref}}{z_0}\right)} \right)^{0.1} \quad (D.1)$$

— ;
 ,— ;
 Z_{ref} — ;
 V_z (— ;
 — ;
 (0.1) ;
 Z_q —

$$= ! \quad (D.2)$$

l. ; (D.2) 10-
 Z_{iet}

54418.11—2017

D.3

$$V_{z\text{ref}} \cdot \left(\frac{z}{z_{\text{ref}}} \right)^{\alpha} \tag{D.3}$$

(0.1) (0.3)

$$V_{z\text{ref}} \cdot \left(\frac{z}{z_{\text{ref}}} \right)^{\alpha} \tag{D.4}$$

Z_q
 Z_{nr}

(D.4)

$$f_{\alpha} = 0^{(*)} \cdot \left(\frac{z}{z_{\text{ref}}} \right)^{\alpha} > 6)1$$

$*0 =$

(D.5)

()

()

()

(0.2). (D.5)

0.1.

10

()

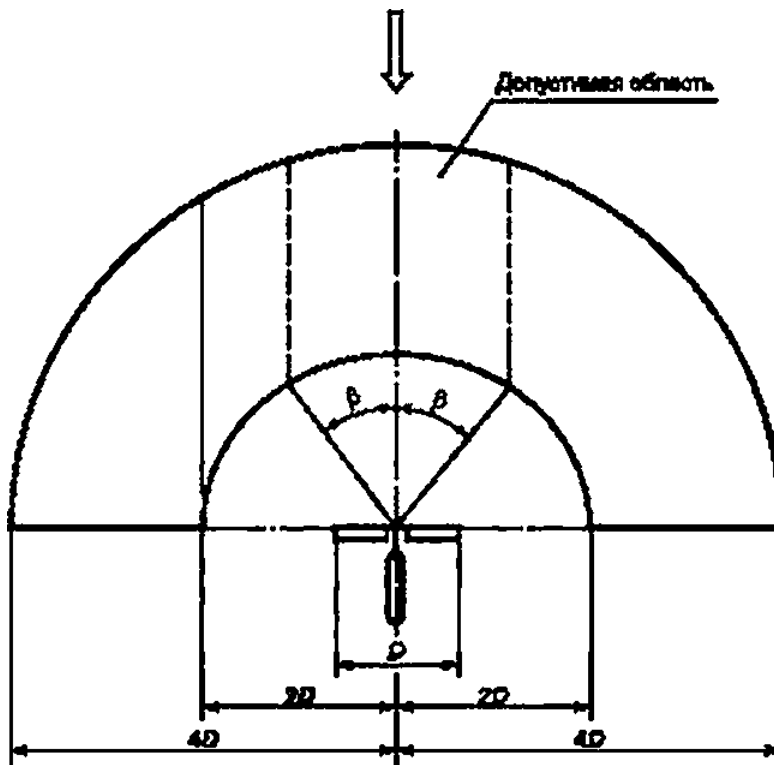
.1
100

2— 4.

(. 3) ±45°
{ . 3} ±45°

54418.12.1,

F.1 (i=90°.



.1—

8.

54418.11—2017

10 25
 11 / ,
 12 10-
 12
 (. . 4)

4

1 /

8.

{ . . 3.18)

(.1) (.2)

$$V_{zm} \cdot \left(\frac{p}{T} \frac{T_{ref}}{p_{ref}} \right)^{\frac{1}{\beta}} \quad (.1)$$

' > 1
 Pf*f

(= 288 ;
 . p_{ref} = 101.325

$$V = V_{zn} \left(\frac{\ln \left(\frac{H}{z_0} \right)}{\ln \left(\frac{z}{z_0} \right)} \right) \quad (.2)$$

V_{Hn} —
 —
 V_{pn} —
 ,
 Z_q —

30683, 31296.1, 31296.2 17187.

12 10-

/. _ioigf

1

(.)

12 /, , .

.6

35

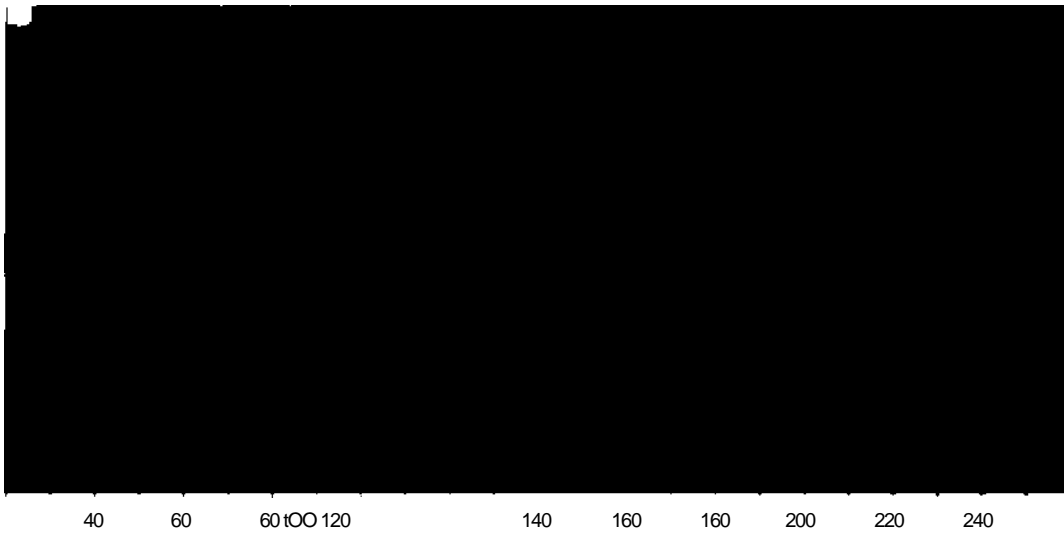
40 45).

5 (. 30. 35.

40

*) (, « 7 /
2.

15 /



1S *»
14 *.
13
12
11 10-1»
10 3 74-»
9 70-74
8 £ *64-70
7 \$ 1«0-
6 j £ IV-«
5 ».»
4 5 41-
3 *40-44
2 *34-40
1 *30-44

2—

54418.11—2017

F
()

31295.1).

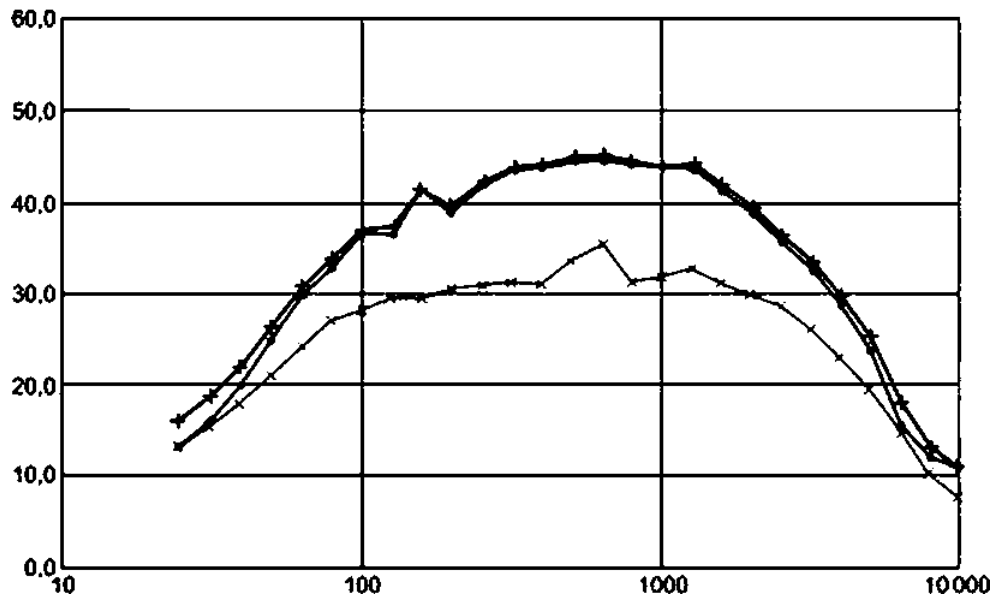
(. 4),

(„

(. F.1).

(30 ± 2 %).

Уровень звукового давления, дБ



F.1—

54418.11—2017

[+ ; -]

$$u = -L \cdot i$$

(G.1)

— G.1 G.2. 8 , -

G.1 —

° 1	±0.3	0.2
°82		
	±0.5	0.3
°84		
	±0.2	0,1
“86		G
" 7	±0.8	0.5

G.2 -

	, /	, /
l/ ()	±1.2	0.7
()	±0.3	0.2
89	±0.3	0.2

8.

()

.1

8.635—2013 (IEC 61672-3:2006)	MOD	IEC 61672-3:2006 « . 3. » -
17187—2010 (IEC 61672-1:2002)	MOO	IEC 61672-1:2002 « . 1. » -
30683—2000 (11204-95)	MOO	ISO 11204:1995 « . . . * , -
31252—2004 { 3740:2000}	MOO	ISO 3740:2000 « . . » -
31295.1—2005 (9613-1:1993)	MOO	ISO 9613-1:1993 « . 1. » -
31296.1—2005 { 1996-1:2003}	MOO	ISO 1996-1:2003 « . 1. , » -
31296.2—2006 (1996-2:2007)	MOO	ISO 1996-2:2007 « . 2. , » -
ISO 11204—2016	IDT	ISO 11204:2010 « . . » -
8.714—2010 { 61260:1995}	MOO	IEC 61260:1995 « . . » -
53188.2—2010 { 61672-2:2003}	MOO	IEC 61672-2:2003 « . 2. » -
53576—2009 { 60268-4:2004}	MOO	IEC 60268-4: 2004 « . 4: » -
54418.12.1—2011 { 61400-12-1:2005}	MOO	IEC 61400-12-1:2005 « . . » -
54418.12.2—2013	MOO	IEC 61400-12-2:2013 « . 12-2. » -

54418.11—2017

. 1

54500.3—2011/ / 98-3:2008		ISO/IEC Guide 98-3:2008 « 3. (GUM:1995)»
/ 17025—2009		ISO/ IEC 17025:2005 « »
60688—2015		IEC 60688:2012 « »
60942—2009		IEC 60942:2003 « »
<p>— : — : •MOD—</p>		

- (1) 7196:1995 .
(ISO 7196:1995 Acoustics. Frequency-weighting characteristic for infrasound measurements)

54418.11—2017

621.311.24:006.354

27.180

60

: , , . *

9—2017/145

• •
• •
• •
• •

07.11.2017 13.12.2017. 60*84 Vg.
. . 6.05. . . 5.47 22 . ». 2543.

« , 115419. , . 11
www.jurisudalru y-book@mail.ru

« ». 123001, . . 4.
www.sosbinfo.ru v1fo@sosbinfo.ru